

Procjene maksimalnih godišnjih kratkotrajnih količina oborine na postaji Abrami

Geografska širina (φ): 45.43083° (298909.02E)

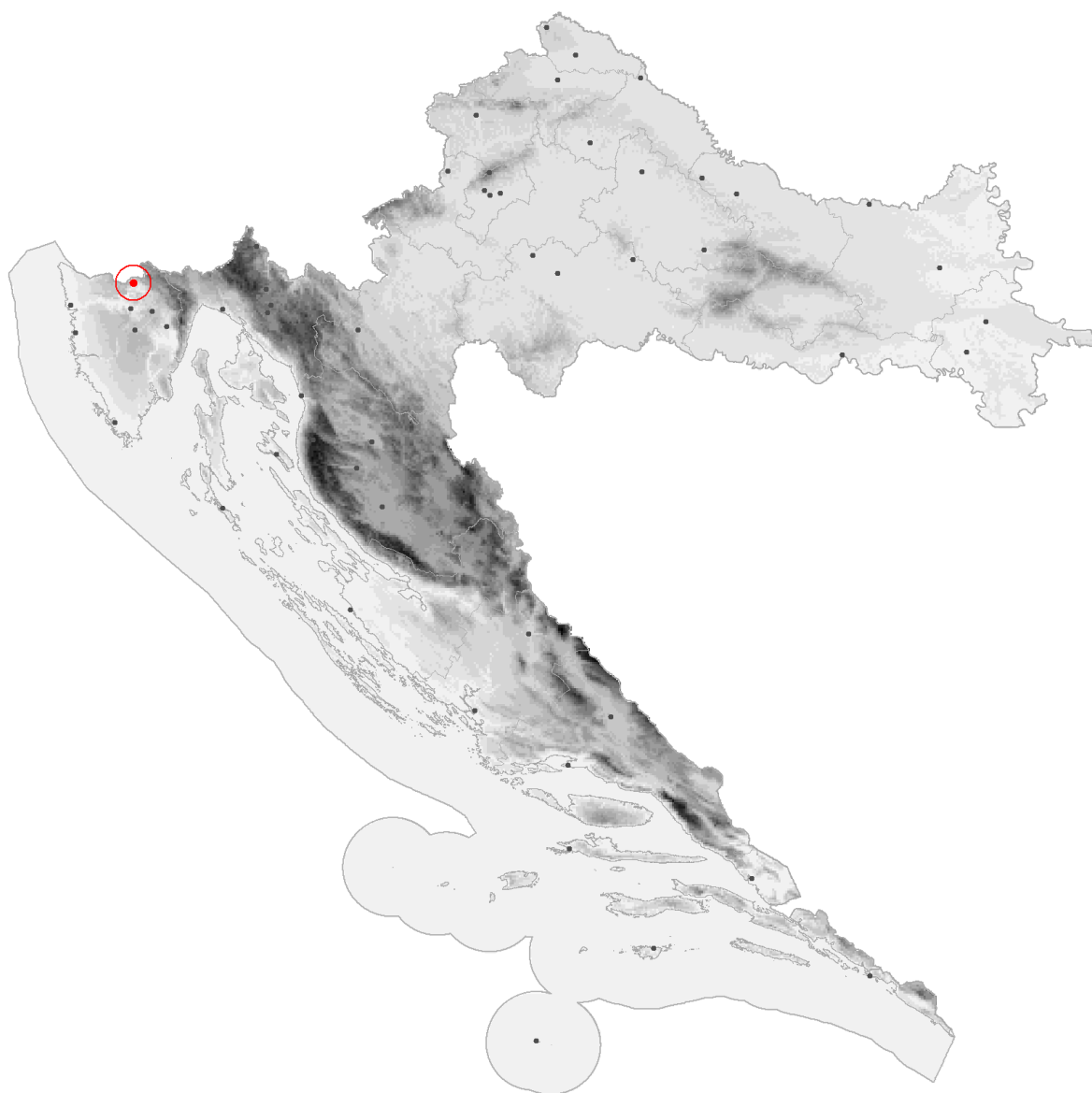
Geografska dužina (λ): 13.93000° (5035536.17N)

Nadmorska visina (h): 93 m

Razdoblje: 1962. – 2016.

Analizirani broj godina: 55 (100 %)

Nedostajuće godine: 0 (0 %)



Najbliži ombrograf: Botonega, 11 km

Tablica 1.

Osnovni statistički parametri oborine za različita trajanja: Rsred – srednjak [mm], StDev – standardna devijacija [mm], CV – koeficijent varijacije oborine, Rmaks – najveća registrirana količina oborine [mm] i pripadni datum i vrijeme, Tmaks – pripadno povratno razdoblje za Rmaks [god]. **ABRAMI**, razdoblje **1962. – 2016.**

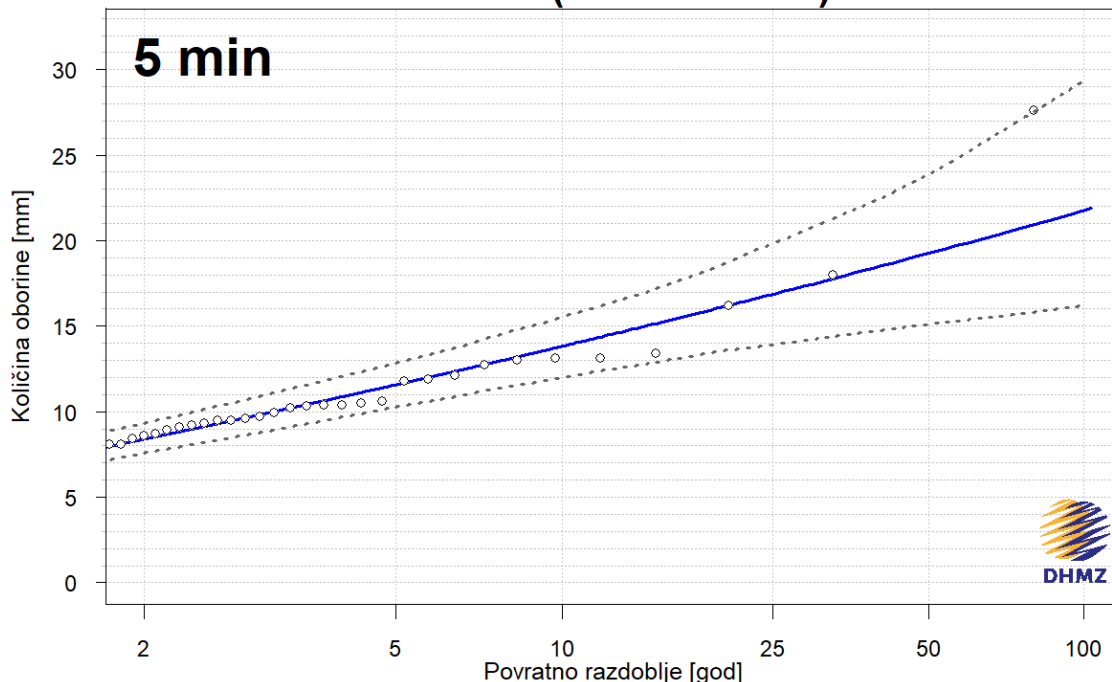
| Trajanje | Rsred | StDev | CV | Rmaks | Datum/Vrijeme | Tmaks |
|----------|-------|-------|------|-------|---------------------|-------|
| 5 min | 9.1 | 3.9 | 0.43 | 27.6 | 1971-09-12 13:10:00 | 446 |
| 10 min | 14.7 | 6.0 | 0.41 | 42.1 | 1971-09-12 13:15:00 | 325 |
| 20 min | 21.9 | 7.9 | 0.36 | 51.8 | 1971-09-12 13:25:00 | 168 |
| 30 min | 26.6 | 9.1 | 0.34 | 56.2 | 1971-09-12 13:25:00 | 70 |
| 40 min | 29.9 | 9.9 | 0.33 | 57.7 | 1971-09-12 13:35:00 | 51 |
| 50 min | 32.2 | 10.6 | 0.33 | 59.8 | 1971-09-12 13:30:00 | 43 |
| 60 min | 34.1 | 11.5 | 0.34 | 62.8 | 1967-08-31 15:35:00 | 40 |
| 2 h | 41.4 | 12.7 | 0.31 | 72.6 | 1972-07-26 14:00:00 | 46 |
| 3 h | 45.7 | 13.4 | 0.29 | 78.7 | 2002-08-11 03:25:00 | 48 |
| 4 h | 48.5 | 13.9 | 0.29 | 87.8 | 2002-08-11 03:40:00 | 85 |
| 6 h | 52.0 | 14.0 | 0.27 | 92.2 | 2002-08-11 03:40:00 | 87 |
| 8 h | 55.5 | 14.7 | 0.26 | 100.1 | 2002-08-11 03:40:00 | 97 |
| 12 h | 60.2 | 16.2 | 0.27 | 110.4 | 1997-11-08 04:45:00 | 79 |
| 24 h | 69.8 | 21.6 | 0.31 | 140.2 | 1993-10-22 08:05:00 | 70 |

Tablica 2.

Procjene maksimalnih godišnjih količina oborine RT [mm] za različita trajanja i odgovarajuće donje (IPd) i gornje granice (IPg) 95%-tnih intervala pouzdanosti za različita povratna razdoblja T (2, 5, 10, 25, 50 i 100 godina). **ABRAMI**, razdoblje **1962. – 2016.**

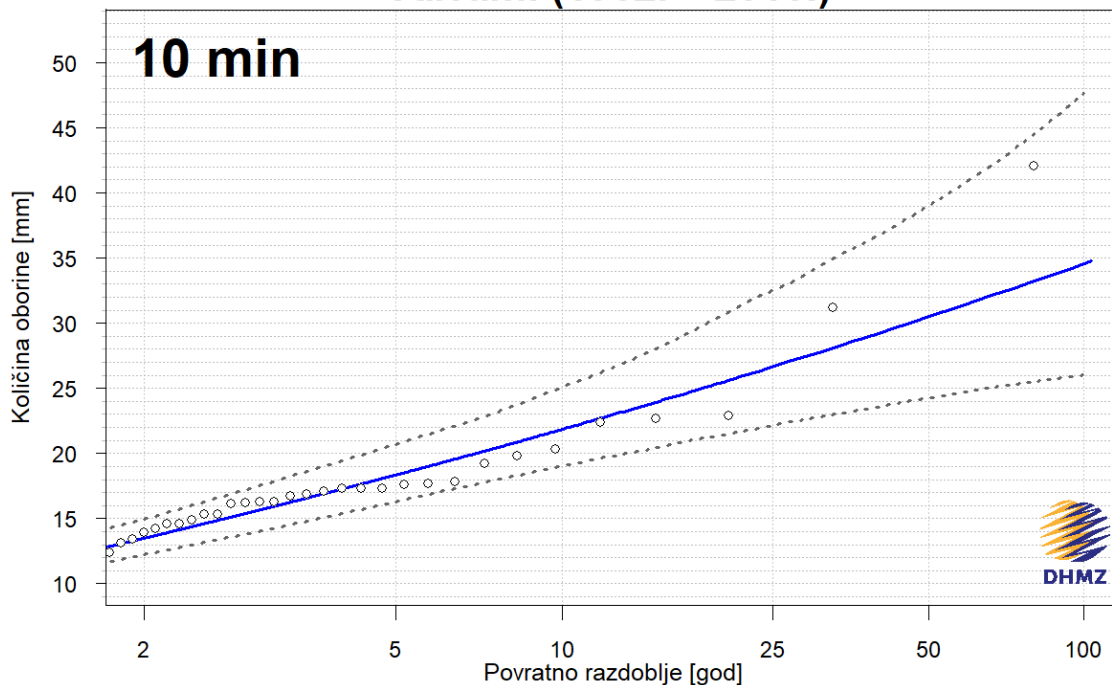
| Trajanje | T2 | | | T5 | | | T10 | | | T25 | | | T50 | | | T100 | | |
|----------|------|------|------|------|------|------|------|------|-------|------|-------|-------|-------|-------|-------|-------|-------|-------|
| | IPd | RT | IPg | IPd | RT | IPg | IPd | RT | IPg | IPd | RT | IPg | IPd | RT | IPg | IPd | RT | IPg |
| 5 min | 7.6 | 8.4 | 9.3 | 10.3 | 11.6 | 12.9 | 12.0 | 13.8 | 15.5 | 13.9 | 16.9 | 19.8 | 15.1 | 19.3 | 23.9 | 16.2 | 21.8 | 29.3 |
| 10 min | 12.3 | 13.5 | 15.0 | 16.3 | 18.3 | 20.7 | 19.0 | 21.9 | 25.1 | 22.2 | 26.7 | 32.5 | 24.3 | 30.5 | 39.0 | 26.0 | 34.6 | 47.6 |
| 20 min | 18.7 | 20.4 | 22.5 | 24.4 | 27.2 | 30.2 | 27.8 | 31.9 | 36.3 | 31.9 | 38.2 | 46.4 | 34.3 | 43.0 | 55.0 | 36.3 | 48.0 | 65.3 |
| 30 min | 22.4 | 24.5 | 26.5 | 29.0 | 32.4 | 35.7 | 33.3 | 38.2 | 43.6 | 38.4 | 46.3 | 56.9 | 42.0 | 52.9 | 70.2 | 45.2 | 59.9 | 87.5 |
| 40 min | 25.4 | 27.9 | 30.8 | 32.6 | 36.7 | 40.7 | 37.6 | 42.9 | 48.5 | 42.8 | 51.1 | 61.1 | 46.2 | 57.6 | 72.3 | 49.4 | 64.3 | 84.5 |
| 50 min | 27.6 | 30.3 | 33.5 | 35.6 | 39.9 | 44.2 | 40.4 | 46.3 | 52.1 | 45.2 | 54.7 | 64.3 | 48.3 | 61.1 | 76.0 | 51.3 | 67.6 | 91.1 |
| 60 min | 29.0 | 32.0 | 35.1 | 38.3 | 42.5 | 46.7 | 43.9 | 49.5 | 55.3 | 49.9 | 58.4 | 69.2 | 53.5 | 65.0 | 81.3 | 56.6 | 71.7 | 95.8 |
| 2 h | 36.5 | 39.7 | 43.4 | 47.3 | 51.5 | 56.3 | 53.2 | 58.7 | 65.5 | 59.1 | 67.3 | 77.3 | 62.2 | 73.3 | 87.2 | 65.4 | 79.0 | 98.2 |
| 3 h | 40.2 | 44.0 | 48.0 | 51.3 | 56.3 | 61.3 | 57.4 | 63.9 | 70.1 | 63.3 | 72.9 | 82.3 | 66.9 | 79.1 | 92.5 | 69.8 | 85.0 | 103.7 |
| 4 h | 43.0 | 46.8 | 50.7 | 54.6 | 59.6 | 64.9 | 61.1 | 67.5 | 74.5 | 67.4 | 76.8 | 86.9 | 71.3 | 83.2 | 97.8 | 74.6 | 89.2 | 110.3 |
| 6 h | 46.6 | 50.2 | 54.4 | 57.9 | 63.1 | 68.5 | 64.2 | 71.0 | 77.9 | 70.9 | 80.5 | 91.1 | 73.7 | 87.2 | 102.6 | 76.1 | 93.4 | 113.8 |
| 8 h | 49.7 | 53.3 | 57.3 | 61.1 | 66.6 | 71.7 | 68.0 | 75.2 | 83.0 | 74.7 | 85.6 | 98.0 | 78.5 | 93.2 | 110.4 | 81.5 | 100.5 | 124.3 |
| 12 h | 53.5 | 57.2 | 61.9 | 66.3 | 71.7 | 78.1 | 73.7 | 81.6 | 89.8 | 81.2 | 94.3 | 108.0 | 87.0 | 104.0 | 124.7 | 91.0 | 113.8 | 144.6 |
| 24 h | 59.7 | 65.0 | 71.8 | 75.8 | 84.2 | 94.0 | 85.8 | 98.1 | 110.6 | 97.2 | 117.1 | 138.8 | 105.5 | 132.4 | 164.5 | 112.8 | 148.6 | 197.0 |

Abrami (1962. – 2016.)



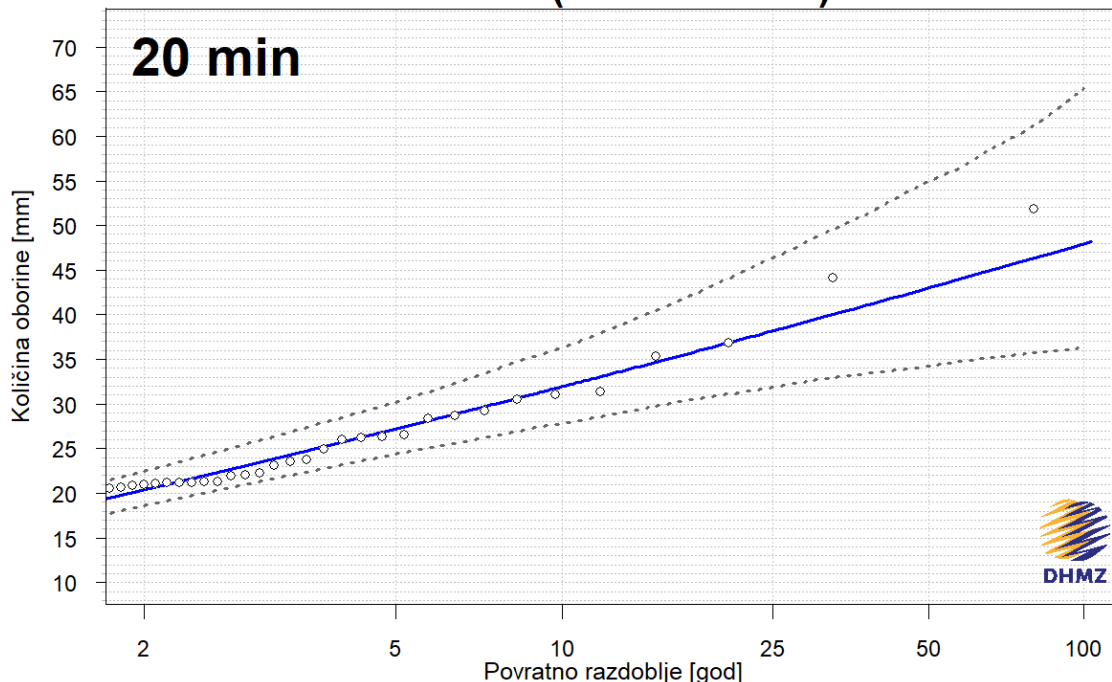
Slika 1. Procjene maksimalnih godišnjih količina oborine za različita povratna razdoblja (plava krivulja) i odgovarajući donji i gornji 95%-tni intervali pouzdanosti (crtkane krivulje) za trajanje **5 minuta**, izračunate pomoću razdiobe GEV

Abrami (1962. – 2016.)



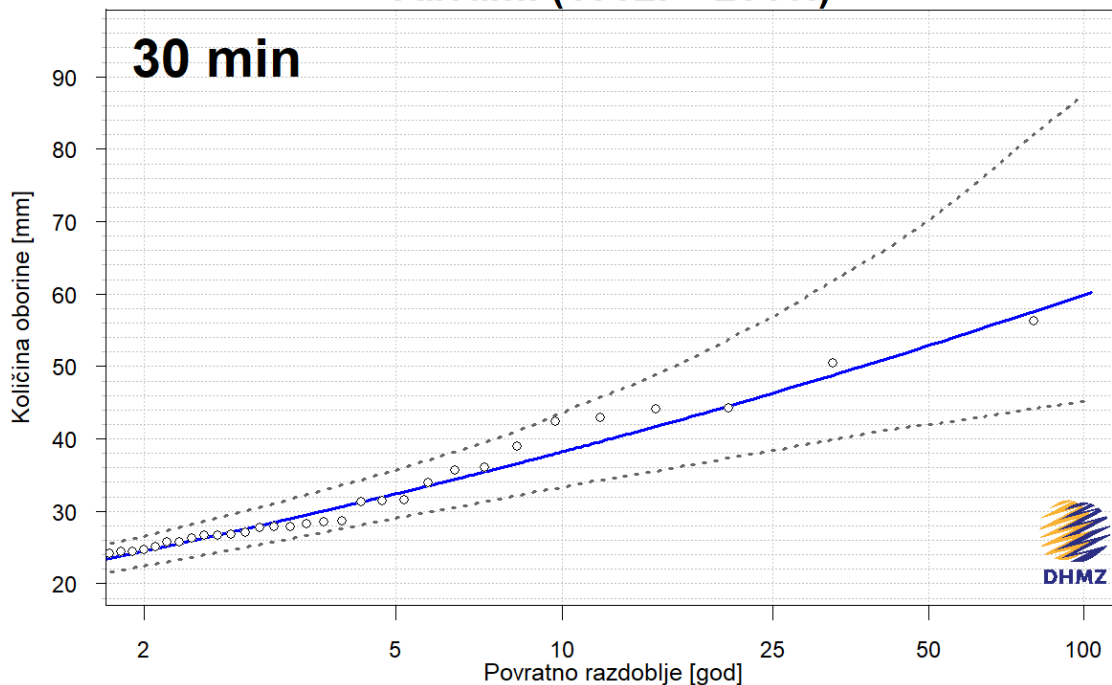
Slika 2. Procjene maksimalnih količina oborine za različita povratna razdoblja (plava krivulja) i odgovarajući donji i gornji 95%-tni intervali pouzdanosti (crtkane krivulje) za trajanje **10 minuta**, izračunate pomoću razdiobe GEV

Abrami (1962. – 2016.)



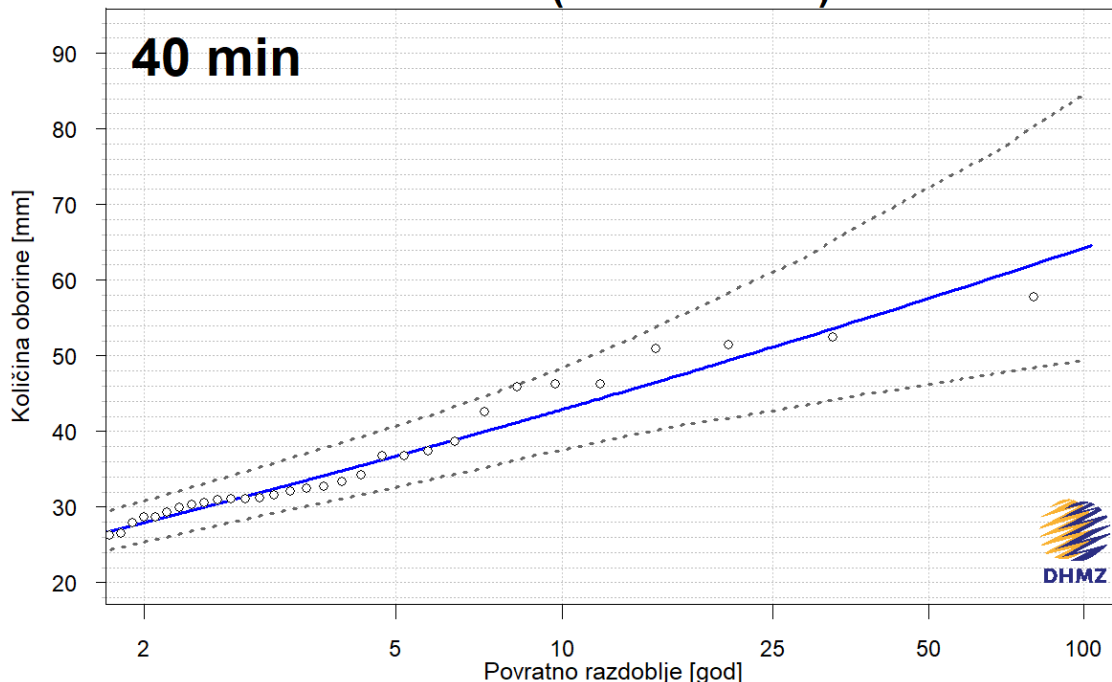
Slika 3. Procjene maksimalnih godišnjih količina oborine za različita povratna razdoblja (plava krivulja) i odgovarajući donji i gornji 95%-tni intervali pouzdanosti (crtkane krivulje) za trajanje **20 minuta**, izračunate pomoću razdiobe GEV

Abrami (1962. – 2016.)



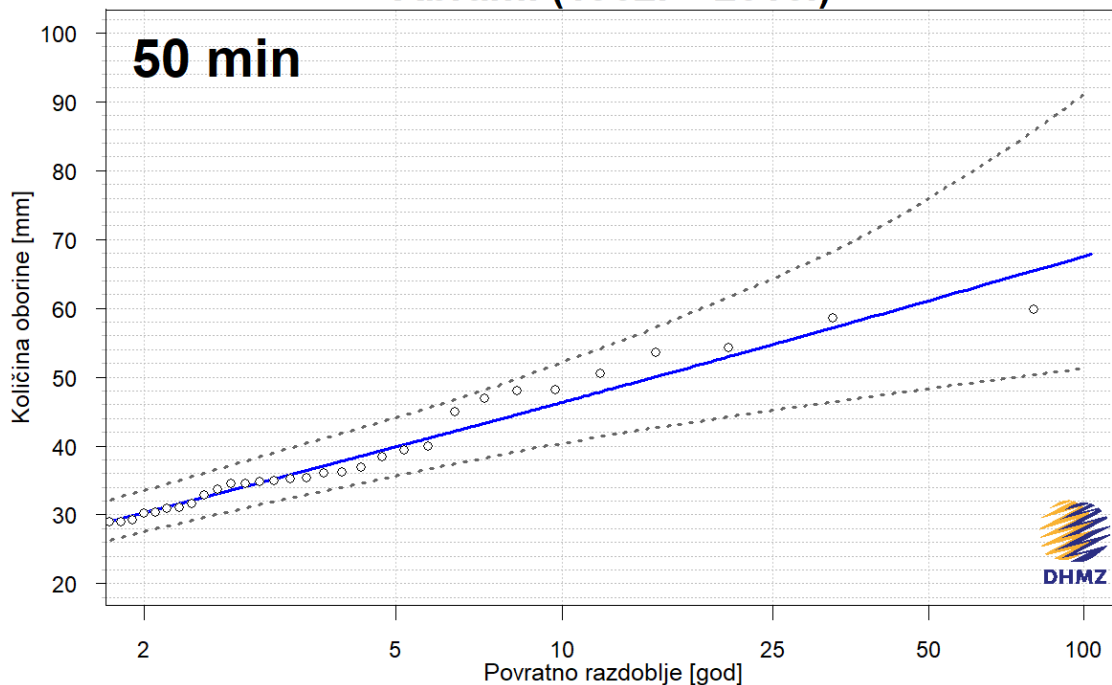
Slika 4. Procjene maksimalnih godišnjih količina oborine za različita povratna razdoblja (plava krivulja) i odgovarajući donji i gornji 95%-tni intervali pouzdanosti (crtkane krivulje) za trajanje **30 minuta**, izračunate pomoću razdiobe GEV

Abrami (1962. – 2016.)



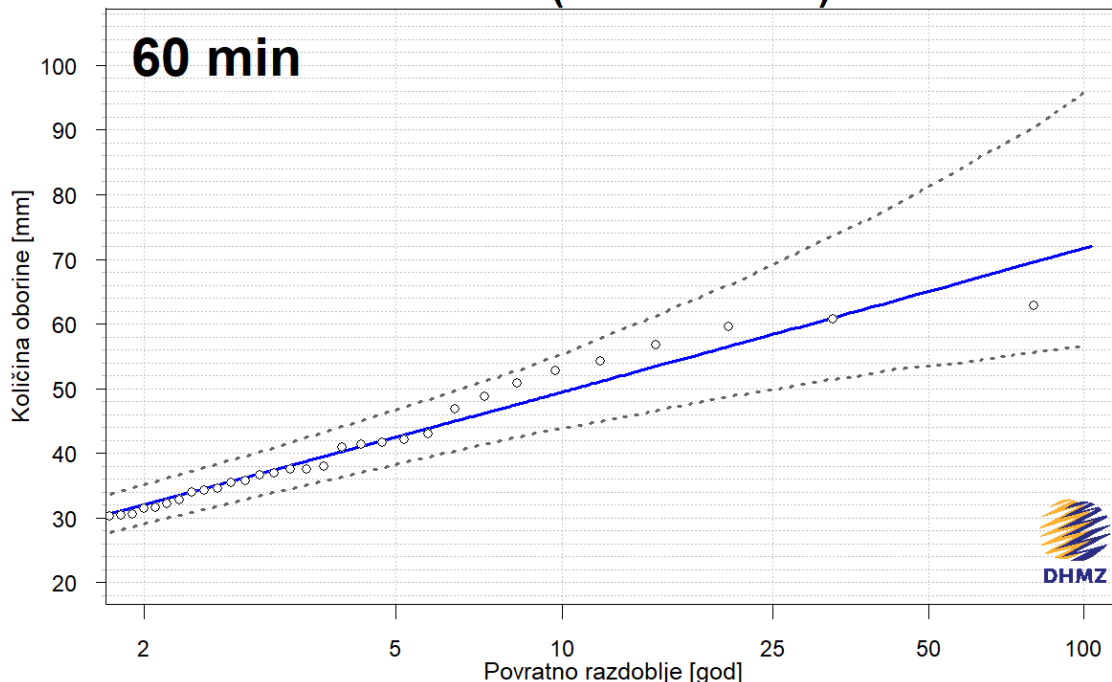
Slika 5. Procjene maksimalnih godišnjih količina oborine za različita povratna razdoblja (plava krivulja) i odgovarajući donji i gornji 95%-tni intervali pouzdanosti (crtkane krivulje) za trajanje **40 minuta**, izračunate pomoću razdiobe GEV

Abrami (1962. – 2016.)



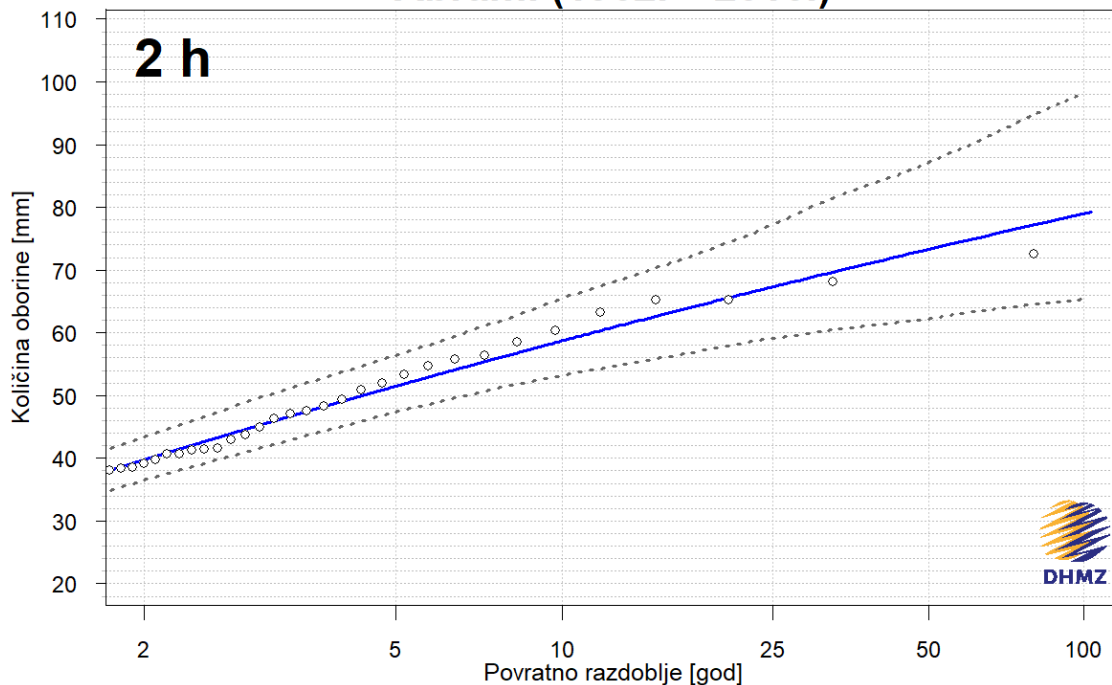
Slika 6. Procjene maksimalnih godišnjih količina oborine za različita povratna razdoblja (plava krivulja) i odgovarajući donji i gornji 95%-tni intervali pouzdanosti (crtkane krivulje) za trajanje **50 minuta**, izračunate pomoću razdiobe GEV

Abrami (1962. – 2016.)



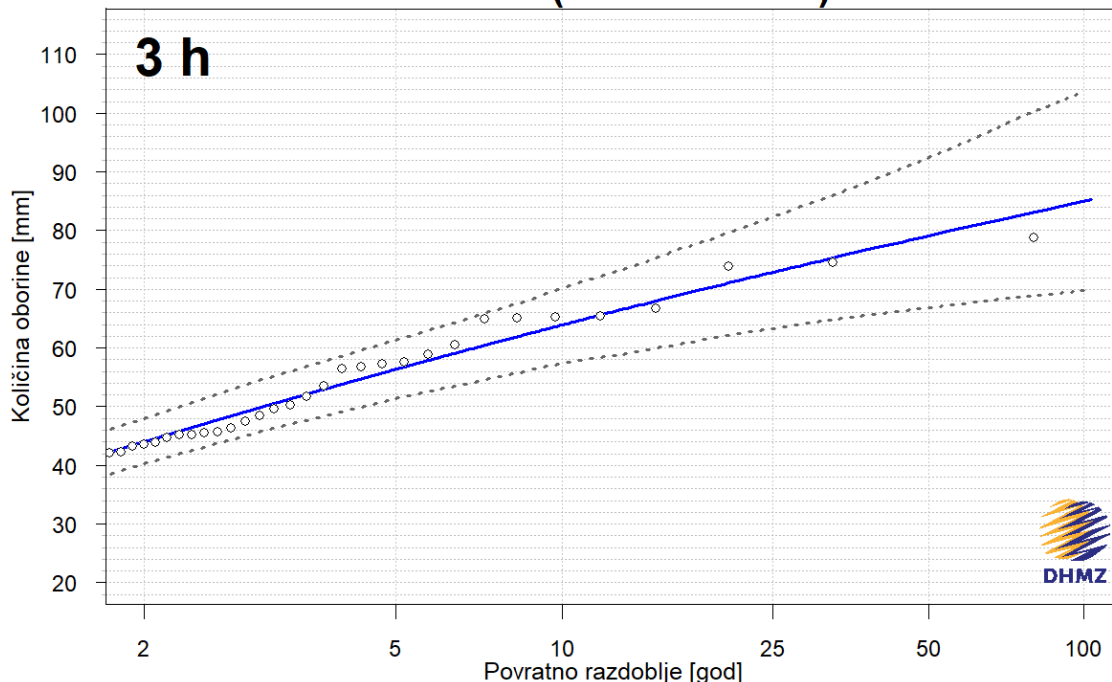
Slika 7. Procjene maksimalnih godišnjih količina oborine za različita povratna razdoblja (plava krivulja) i odgovarajući donji i gornji 95%-tni intervali pouzdanosti (crtkane krivulje) za trajanje **60 minuta**, izračunate pomoću razdiobe GEV

Abrami (1962. – 2016.)



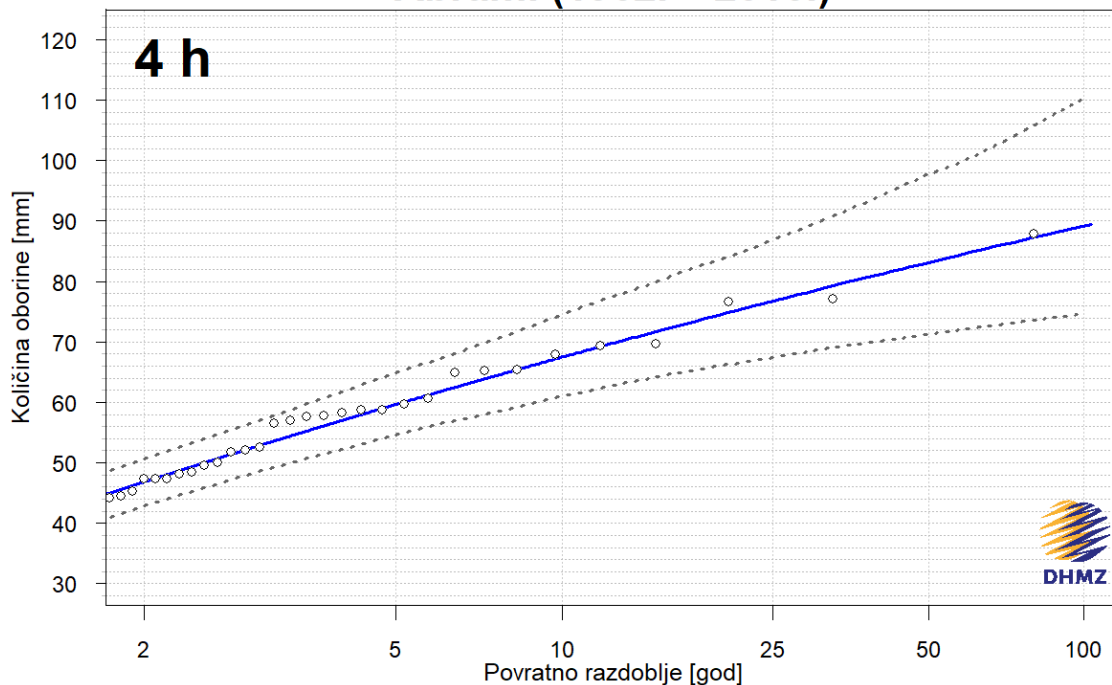
Slika 8. Procjene maksimalnih godišnjih količina oborine za različita povratna razdoblja (plava krivulja) i odgovarajući donji i gornji 95%-tni intervali pouzdanosti (crtkane krivulje) za trajanje **2 h**, izračunate pomoću razdiobe GEV

Abrami (1962. – 2016.)



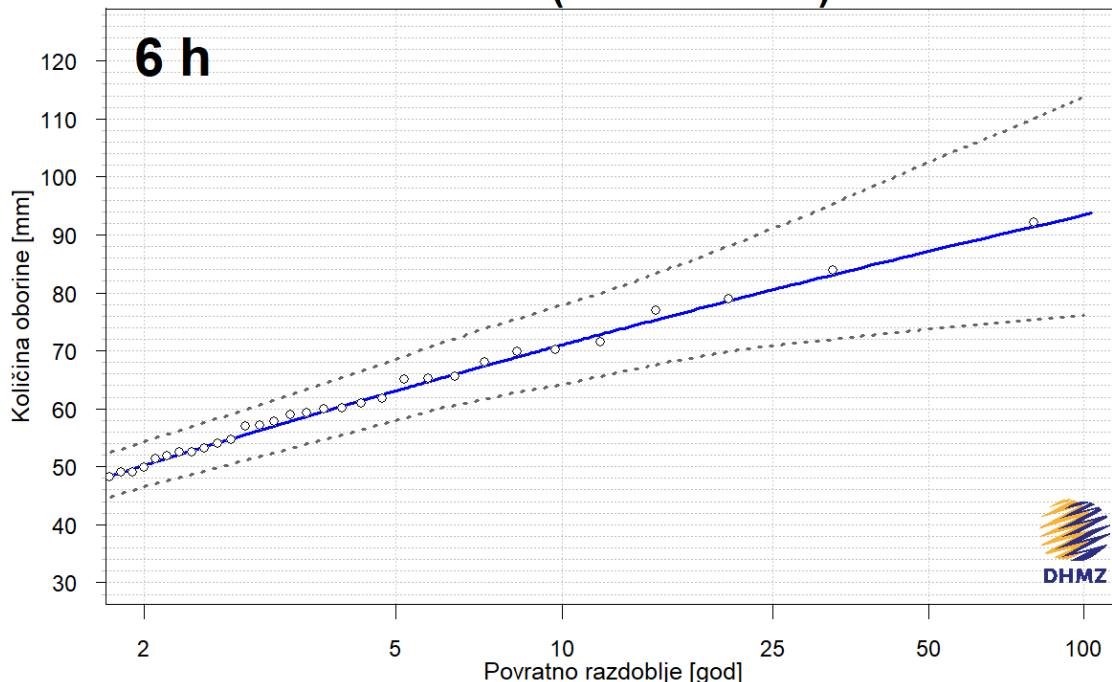
Slika 9. Procjene maksimalnih godišnjih količina oborine za različita povratna razdoblja (plava krivulja) i odgovarajući donji i gornji 95%-tni intervali pouzdanosti (crtkane krivulje) za trajanje **3 h**, izračunate pomoću razdiobe GEV

Abrami (1962. – 2016.)



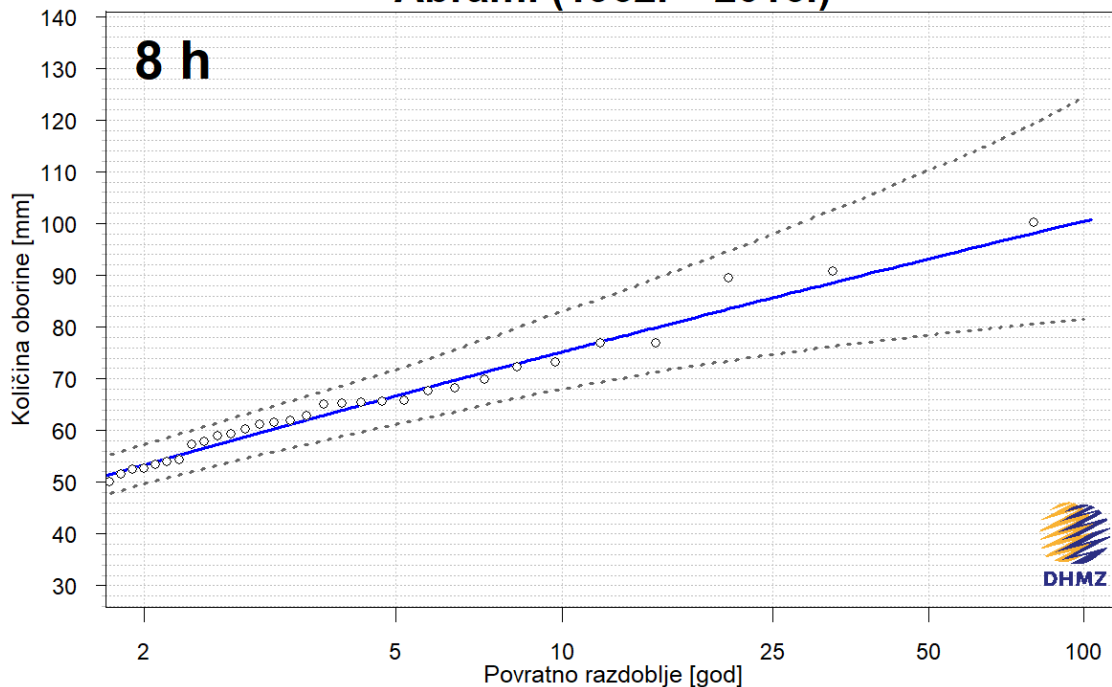
Slika 10. Procjene maksimalnih godišnjih količina oborine za različita povratna razdoblja (plava krivulja) i odgovarajući donji i gornji 95%-tni intervali pouzdanosti (crtkane krivulje) za trajanje **4 h**, izračunate pomoću razdiobe GEV

Abrami (1962. – 2016.)



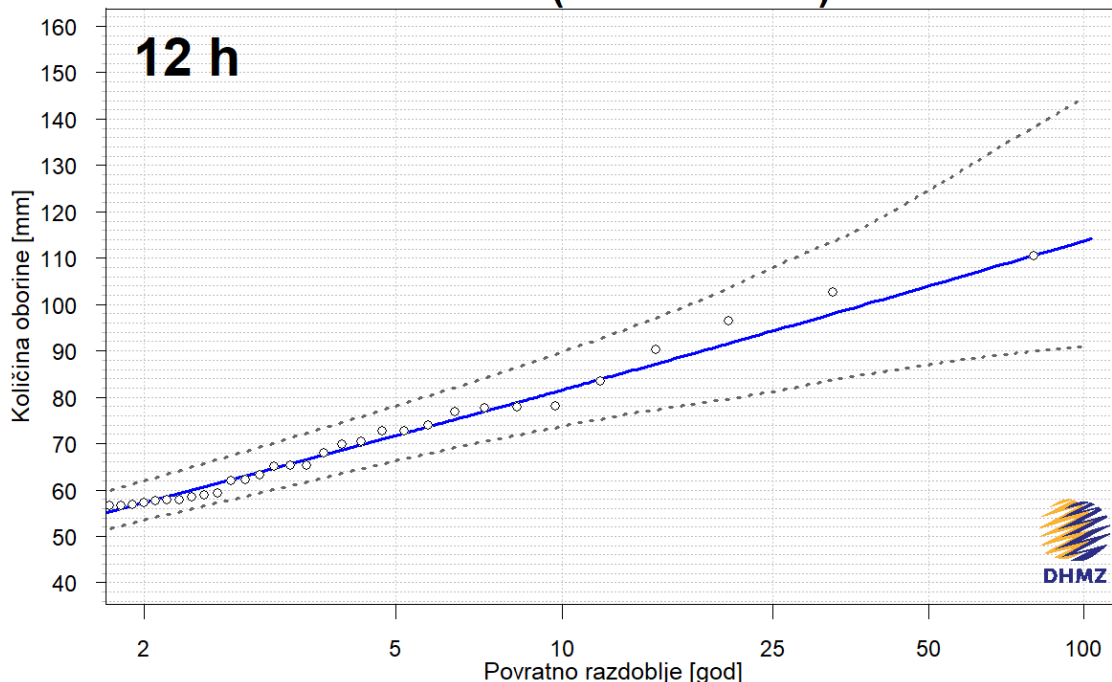
Slika 11. Procjene maksimalnih godišnjih količina oborine za različita povratna razdoblja (plava krivulja) i odgovarajući donji i gornji 95%-tni intervali pouzdanosti (crtkane krivulje) za trajanje **6 h**, izračunate pomoću razdiobe GEV

Abrami (1962. – 2016.)



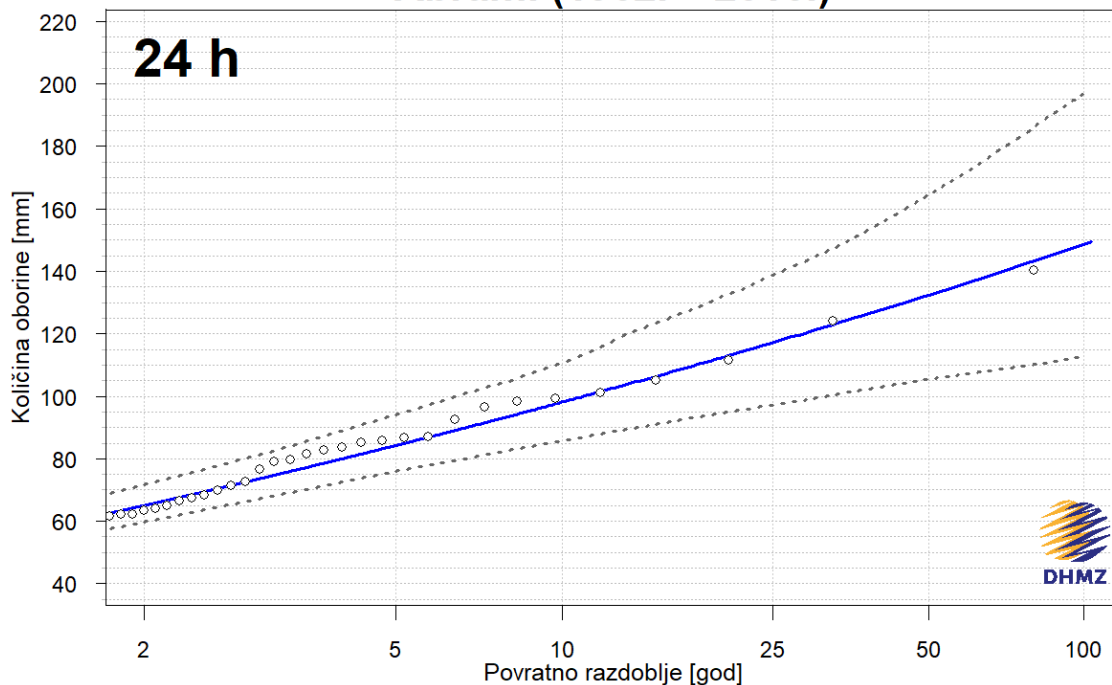
Slika 12. Procjene maksimalnih godišnjih količina oborine za različita povratna razdoblja (plava krivulja) i odgovarajući donji i gornji 95%-tni intervali pouzdanosti (crtkane krivulje) za trajanje **8 h**, izračunate pomoću razdiobe GEV

Abrami (1962. – 2016.)



Slika 13. Procjene maksimalnih godišnjih količina oborine za različita povratna razdoblja (plava krivulja) i odgovarajući donji i gornji 95%-tni intervali pouzdanosti (crtkane krivulje) za trajanje **12 h**, izračunate pomoću razdiobe GEV

Abrami (1962. – 2016.)



Slika 14. Procjene maksimalnih godišnjih količina oborine za različita povratna razdoblja (plava krivulja) i odgovarajući donji i gornji 95%-tni intervali pouzdanosti (crtkane krivulje) za trajanje **24 h**, izračunate pomoću razdiobe GEV